

Naturalness, Conformal Symmetry and Duality

Y.K., “Naturalness, conformal symmetry and duality”, to appear in *Prog. Theor. Exp. Phys.* arXiv:1308.5064 [hep-ph]

信州大学理学部
川村嘉春
©京都産業大学
2013年11月18日

「自然さ」と「ゲージ階層性」

を巡って

信州大学理学部
川村嘉春
@京都産業大学
2013年11月18日

内容

1. はじめに (標準模型を超える物理を知るためのヒント)
2. 自然さを巡って (自然さ, スケール不変性, 双対性)
3. ゲージ階層性を巡って (ゲージ階層性, 超対称性, フェルミ的対称性)
4. 結論 (まとめ, 課題)

【参考論文】

1. はじめに & 4. 結論

Y.K., “Terascale remnants of unification and supersymmetry at the Planck scale”,
Prog. Theor. Exp. Phys. **8**, 081B01, (2013)
arXiv:1304.7885 [hep-ph]

2. 自然さを巡って

Y.K., “Naturalness, conformal symmetry and duality”, to appear in *Prog. Theor. Exp. Phys.*
arXiv:1308.5069 [hep-ph]

3. ゲージ階層性を巡って

Y.K., “Gauge Hierarchy Problem, Supersymmetry and Fermionic Symmetry”,
arXiv:1311.2365 [hep-ph]

【今回の話の主題】

標準模型の背後に興味
深い物理が潜んでいる
可能性がある！

1. はじめに

〈知りたいこと〉

標準模型を超える物理

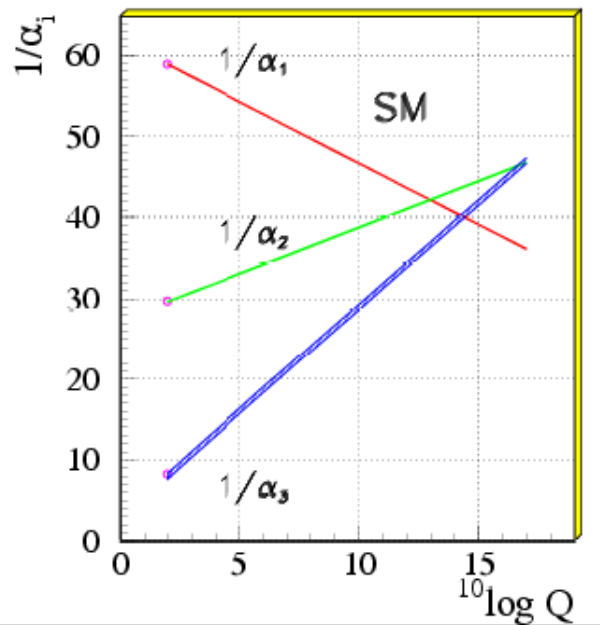
〈まともな戦略〉

様々な実験結果をヒントにする。

以下で、3つの実験事実に基づいて推論する。

ヒント (その1)

ゲージ結合定数の精密測定 @ LEP



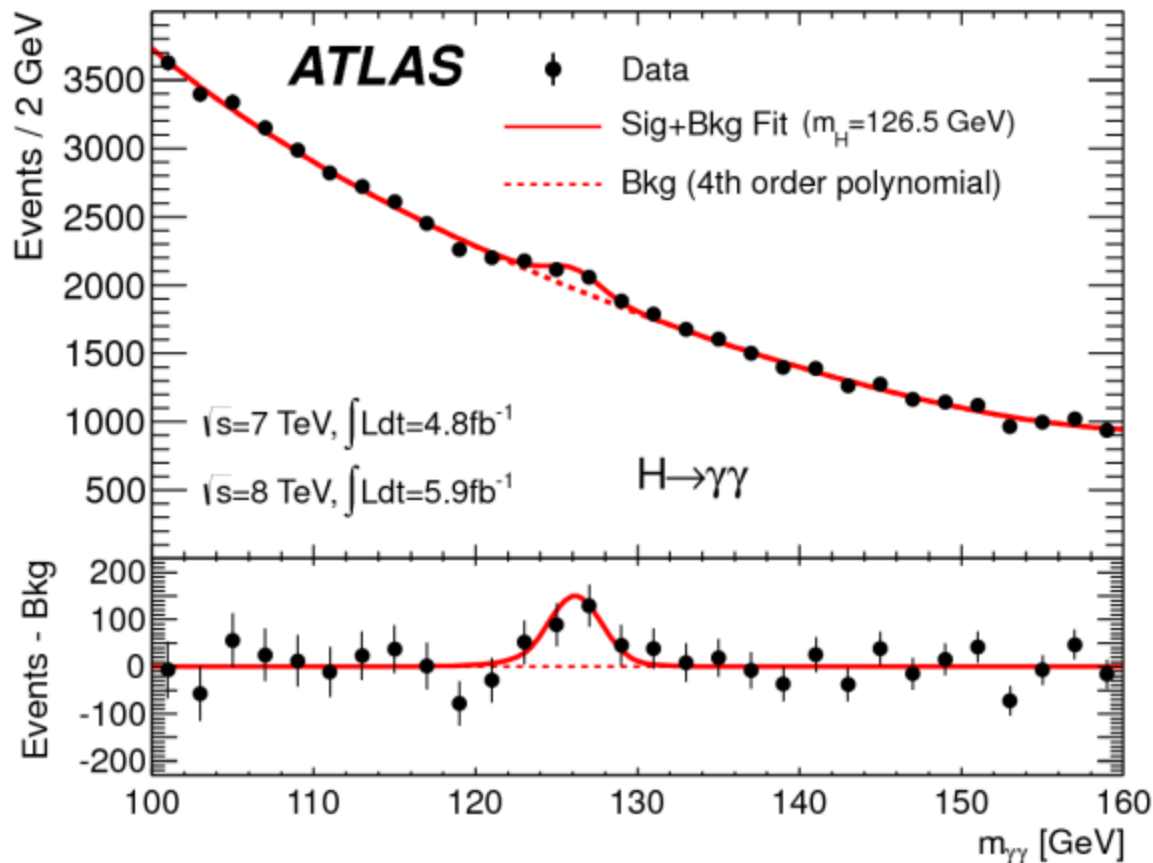
PDGのHPより

【期待】 新粒子の出現により，ある高エネルギースケール M_U で，ゲージ結合定数が一致するのでは。

「力の大統一」のためには，
新粒子が必要！

ヒント (その2)

ヒッグス粒子の発見 @ LHC



$m_h \cong 126$ GeV

ヒント (その2)

ヒッグス粒子の発見 @ LHC

$m_h \cong 126 \text{ GeV}$ が意味するものは？

標準模型によると,

$$m_h = \sqrt{2\lambda} v$$

$$v \cong 246 \text{ GeV}$$



$$\lambda \cong 0.131$$

注意：電弱スケールでの値

Vacuum stability bound

$$\frac{d\lambda}{d \ln E} = \frac{1}{16\pi^2} \left[24\lambda^2 - (3g'^2 + 9g^2 - 12f_t^2)\lambda + \frac{3}{8}g'^4 + \frac{3}{4}g'^2 g^2 + \frac{9}{8}g^4 - 6f_t^4 - \dots \right]$$

$$f_t \cong 1 \quad \lambda \cong 0.131$$

M_{Pl} までに λ の値が負になってしまう。

→ 真空が不安定

【期待】 新粒子が救世主になるかも。

ヒント (その3)

スーパーパートナーが未発見 @ LHC

ATLAS SUSY Searches* - 95% CL Lower Limits

Status: EPS 2013

ATLAS Preliminary

$$\int \mathcal{L} dt = (4.4 - 22.9) \text{ fb}^{-1} \quad \sqrt{s} = 7, 8 \text{ TeV}$$

Model	e, μ, τ, γ Jets	E_T^{miss}	$\int \mathcal{L} dt [\text{fb}^{-1}]$	Mass limit	Reference			
Inclusive Searches	MSUGRA/CMSSM	0	2-6 jets	Yes	20.3	\tilde{g}, \tilde{g} 1.7 TeV	$m(\tilde{g})=m(\tilde{g})$	ATLAS-CONF-2013-047
	MSUGRA/CMSSM	1 e, μ	3-6 jets	Yes	20.3	\tilde{g} 1.2 TeV	any $m(\tilde{g})$	ATLAS-CONF-2013-062
	MSUGRA/CMSSM	0	7-10 jets	Yes	20.3	\tilde{g} 1.1 TeV	any $m(\tilde{g})$	ATLAS-CONF-2013-054
	$\tilde{q}\tilde{q}, \tilde{q} \rightarrow q\tilde{\chi}_1^0$	0	2-6 jets	Yes	20.3	\tilde{q} 740 GeV	$m(\tilde{\chi}_1^0)=0 \text{ GeV}$	ATLAS-CONF-2013-047
	$\tilde{g}\tilde{g}, \tilde{g} \rightarrow q\tilde{q}\tilde{\chi}_1^0$	0	2-6 jets	Yes	20.3	\tilde{g} 1.3 TeV	$m(\tilde{\chi}_1^0)=0 \text{ GeV}$	ATLAS-CONF-2013-047
	$\tilde{g}\tilde{g}, \tilde{g} \rightarrow q\tilde{q}\tilde{\chi}_1^0 \rightarrow q\tilde{q}W^\pm\tilde{\chi}_1^0$	1 e, μ	3-6 jets	Yes	20.3	\tilde{g} 1.18 TeV	$m(\tilde{\chi}_1^0)=200 \text{ GeV}, m(\tilde{\chi}^\pm)=0.5(m(\tilde{\chi}_1^0)+m(\tilde{g}))$	ATLAS-CONF-2013-062
	$\tilde{g}\tilde{g} \rightarrow q\tilde{q}q\tilde{\ell}(\tilde{\ell})\tilde{\chi}_1^0\tilde{\chi}_1^0$	2 e, μ (SS)	3 jets	Yes	20.7	\tilde{g} 1.1 TeV	$m(\tilde{\chi}_1^0)<650 \text{ GeV}$	ATLAS-CONF-2013-007
	GMSB ($\tilde{\ell}$ NLSP)	2 e, μ	2-4 jets	Yes	4.7	\tilde{g} 1.24 TeV	$\tan\beta < 15$	1208.4688
	GMSB ($\tilde{\ell}$ NLSP)	1-2 τ	0-2 jets	Yes	20.7	\tilde{g} 1.4 TeV	$\tan\beta > 18$	ATLAS-CONF-2013-026
	GGM (bino NLSP)	2 γ	0	Yes	4.8	\tilde{g} 1.07 TeV	$m(\tilde{\chi}_1^0) > 50 \text{ GeV}$	1209.0753
	GGM (wino NLSP)	1 $e, \mu + \gamma$	0	Yes	4.8	\tilde{g} 619 GeV	$m(\tilde{\chi}_1^0) > 50 \text{ GeV}$	ATLAS-CONF-2012-144
GGM (higgsino-bino NLSP)	γ	1 b	Yes	4.8	\tilde{g} 900 GeV	$m(\tilde{\chi}_1^0) > 220 \text{ GeV}$	1211.1167	
GGM (higgsino NLSP)	2 e, μ (Z)	0-3 jets	Yes	5.8	\tilde{g} 690 GeV	$m(\tilde{H}) > 200 \text{ GeV}$	ATLAS-CONF-2012-152	
Gravitino LSP	0	mono-jet	Yes	10.5	\tilde{g} 645 GeV	$m(\tilde{g}) > 10^{-4} \text{ eV}$	ATLAS-CONF-2012-147	
3rd gen. \tilde{g} med.	$\tilde{g} \rightarrow b\tilde{b}\tilde{\chi}_1^0$	0	3 b	Yes	20.1	\tilde{g} 1.2 TeV	$m(\tilde{\chi}_1^0) < 600 \text{ GeV}$	ATLAS-CONF-2013-061
	$\tilde{g} \rightarrow t\tilde{t}\tilde{\chi}_1^0$	0	7-10 jets	Yes	20.3	\tilde{g} 1.14 TeV	$m(\tilde{\chi}_1^0) < 200 \text{ GeV}$	ATLAS-CONF-2013-054
	$\tilde{g} \rightarrow t\tilde{t}\tilde{\chi}_1^0$	0-1 e, μ	3 b	Yes	20.1	\tilde{g} 1.34 TeV	$m(\tilde{\chi}_1^0) < 400 \text{ GeV}$	ATLAS-CONF-2013-061
	$\tilde{g} \rightarrow b\tilde{t}\tilde{\chi}_1^0$	0-1 e, μ	3 b	Yes	20.1	\tilde{g} 1.3 TeV	$m(\tilde{\chi}_1^0) < 300 \text{ GeV}$	ATLAS-CONF-2013-061
3rd gen. squarks direct production	$\tilde{b}_1\tilde{b}_1, \tilde{b}_1 \rightarrow b\tilde{\chi}_1^0$	0	2 b	Yes	20.1	\tilde{b}_1 100-630 GeV	$m(\tilde{\chi}_1^0) < 100 \text{ GeV}$	ATLAS-CONF-2013-053
	$\tilde{b}_1\tilde{b}_1, \tilde{b}_1 \rightarrow t\tilde{\chi}_1^0$	2 e, μ (SS)	0-3 b	Yes	20.7	\tilde{b}_1 430 GeV	$m(\tilde{\chi}_1^0) = 2 m(\tilde{\chi}_1^0)$	ATLAS-CONF-2013-007
	$\tilde{t}_1\tilde{t}_1$ (light), $\tilde{t}_1 \rightarrow b\tilde{\chi}_1^\pm$	1-2 e, μ	1-2 b	Yes	4.7	\tilde{t}_1 167 GeV	$m(\tilde{\chi}_1^0) = 55 \text{ GeV}$	1208.4305, 1209.2102
	$\tilde{t}_1\tilde{t}_1$ (light), $\tilde{t}_1 \rightarrow Wb\tilde{\chi}_1^0$	2 e, μ	0-2 jets	Yes	20.3	\tilde{t}_1 220 GeV	$m(\tilde{\chi}_1^0) = m(\tilde{\chi}_1^0) + m(W) - 50 \text{ GeV}, m(\tilde{t}_1) < m(\tilde{\chi}_1^0)$	ATLAS-CONF-2013-048
	$\tilde{t}_1\tilde{t}_1$ (medium), $\tilde{t}_1 \rightarrow t\tilde{\chi}_1^0$	2 e, μ	2 jets	Yes	20.3	\tilde{t}_1 225-525 GeV	$m(\tilde{\chi}_1^0) = 0 \text{ GeV}$	ATLAS-CONF-2013-065
	$\tilde{t}_1\tilde{t}_1$ (medium), $\tilde{t}_1 \rightarrow b\tilde{\chi}_1^\pm$	0	2 b	Yes	20.1	\tilde{t}_1 150-580 GeV	$m(\tilde{\chi}_1^0) < 200 \text{ GeV}, m(\tilde{\chi}_1^\pm) - m(\tilde{\chi}_1^0) = 5 \text{ GeV}$	ATLAS-CONF-2013-053
	$\tilde{t}_1\tilde{t}_1$ (heavy), $\tilde{t}_1 \rightarrow t\tilde{\chi}_1^0$	1 e, μ	1 b	Yes	20.7	\tilde{t}_1 200-610 GeV	$m(\tilde{\chi}_1^0) = 0 \text{ GeV}$	ATLAS-CONF-2013-037
	$\tilde{t}_1\tilde{t}_1$ (heavy), $\tilde{t}_1 \rightarrow t\tilde{\chi}_1^0$	0	2 b	Yes	20.5	\tilde{t}_1 320-660 GeV	$m(\tilde{\chi}_1^0) = 0 \text{ GeV}$	ATLAS-CONF-2013-024
	$\tilde{t}_1\tilde{t}_1, \tilde{t}_1 \rightarrow c\tilde{\chi}_1^0$	0	mono-jet/c-tag	Yes	20.3	\tilde{t}_1 200 GeV	$m(\tilde{t}_1) - m(\tilde{\chi}_1^0) < 85 \text{ GeV}$	ATLAS-CONF-2013-068
	$\tilde{t}_1\tilde{t}_1$ (natural GMSB)	2 e, μ (Z)	1 b	Yes	20.7	\tilde{t}_1 500 GeV	$m(\tilde{\chi}_1^0) > 150 \text{ GeV}$	ATLAS-CONF-2013-025
	$\tilde{t}_2\tilde{t}_2, \tilde{t}_2 \rightarrow \tilde{t}_1 + Z$	3 e, μ (Z)	1 b	Yes	20.7	\tilde{t}_2 520 GeV	$m(\tilde{t}_2) = m(\tilde{\chi}_1^0) + 180 \text{ GeV}$	ATLAS-CONF-2013-025
EW direct	$\tilde{\ell}_L, \tilde{\ell}_R, \tilde{\ell}_L, \tilde{\ell}_R, \tilde{\ell} \rightarrow \tilde{\ell}\tilde{\chi}_1^0$	2 e, μ	0	Yes	20.3	$\tilde{\ell}$ 85-315 GeV	$m(\tilde{\chi}_1^0) = 0 \text{ GeV}$	ATLAS-CONF-2013-049
	$\tilde{\chi}_1^\pm, \tilde{\chi}_1^\pm \rightarrow \tilde{\nu}(\tilde{\nu})$	2 e, μ	0	Yes	20.3	$\tilde{\chi}_1^\pm$ 125-450 GeV	$m(\tilde{\chi}_1^0) = 0 \text{ GeV}, m(\tilde{\ell}, \tilde{\nu}) = 0.5(m(\tilde{\chi}_1^\pm) + m(\tilde{\chi}_1^0))$	ATLAS-CONF-2013-049
	$\tilde{\chi}_1^\pm, \tilde{\chi}_1^\pm \rightarrow \tilde{\nu}(\tilde{\nu})$	2 τ	0	Yes	20.7	$\tilde{\chi}_1^\pm$ 180-330 GeV	$m(\tilde{\chi}_1^0) = 0 \text{ GeV}, m(\tilde{\ell}, \tilde{\nu}) = 0.5(m(\tilde{\chi}_1^\pm) + m(\tilde{\chi}_1^0))$	ATLAS-CONF-2013-028
	$\tilde{\chi}_1^\pm, \tilde{\chi}_2^0 \rightarrow \tilde{\ell}_L, \tilde{\ell}_L, \tilde{\ell}(\tilde{\nu}), \tilde{\ell}\tilde{\nu}(\tilde{\ell}(\tilde{\nu}))$	3 e, μ	0	Yes	20.7	$\tilde{\chi}_1^\pm, \tilde{\chi}_2^0$ 600 GeV	$m(\tilde{\chi}_1^0) = m(\tilde{\chi}_2^0), m(\tilde{\chi}_1^0) = 0, m(\tilde{\ell}, \tilde{\nu}) = 0.5(m(\tilde{\chi}_1^\pm) + m(\tilde{\chi}_1^0))$	ATLAS-CONF-2013-035
	$\tilde{\chi}_1^\pm, \tilde{\chi}_2^0 \rightarrow W^\pm\tilde{\chi}_1^0 Z, \tilde{\chi}_1^0$	3 e, μ	0	Yes	20.7	$\tilde{\chi}_1^\pm, \tilde{\chi}_2^0$ 315 GeV	$m(\tilde{\chi}_1^0) = m(\tilde{\chi}_2^0), m(\tilde{\chi}_1^0) = 0, \text{ sleptons decoupled}$	ATLAS-CONF-2013-035
Long-lived particles	Direct $\tilde{\chi}_1^\pm\tilde{\chi}_1^\pm$ prod., long-lived $\tilde{\chi}_1^\pm$	Disapp. trk	1 jet	Yes	20.3	$\tilde{\chi}_1^\pm$ 270 GeV	$m(\tilde{\chi}_1^\pm) - m(\tilde{\chi}_1^0) = 160 \text{ MeV}, \tau(\tilde{\chi}_1^\pm) = 0.2 \text{ ns}$	ATLAS-CONF-2013-069
	Stable, stopped \tilde{g} R-hadron	0	1-5 jets	Yes	22.9	\tilde{g} 857 GeV	$m(\tilde{\chi}_1^0) = 100 \text{ GeV}, 10 \mu\text{s} < \tau(\tilde{g}) < 1000 \text{ s}$	ATLAS-CONF-2013-057
	GMSB, stable $\tilde{\tau}, \tilde{\chi}_1^0 \rightarrow \tilde{\tau}(\tilde{e}, \tilde{\mu}) + \tau(e, \mu)$	1-2 μ	0	-	15.9	$\tilde{\tau}$ 475 GeV	$10 < \tan\beta < 50$	ATLAS-CONF-2013-108
	GMSB, $\tilde{\chi}_1^0 \rightarrow \gamma\tilde{G}$, long-lived $\tilde{\chi}_1^0$	2 γ	0	Yes	4.7	$\tilde{\chi}_1^0$ 230 GeV	$0.4 < \tau(\tilde{\chi}_1^0) < 2 \text{ ns}$	1304.6310
$\tilde{\chi}_1^0 \rightarrow q\tilde{q}$ (RPV)	1 μ	0	Yes	4.4	\tilde{q} 700 GeV	$1 \text{ mm} < c\tau < 1 \text{ m}, \tilde{g} \text{ decoupled}$	1210.7451	
RPV	LFV $pp \rightarrow \tilde{\nu}_\tau + X, \tilde{\nu}_\tau \rightarrow e + \mu$	2 e, μ	0	-	4.6	$\tilde{\nu}_\tau$ 1.61 TeV	$\lambda'_{311} = 0.10, \lambda'_{132} = 0.05$	1212.1272
	LFV $pp \rightarrow \tilde{\nu}_\tau + X, \tilde{\nu}_\tau \rightarrow e(\mu) + \tau$	1 $e, \mu + \tau$	0	-	4.6	$\tilde{\nu}_\tau$ 1.1 TeV	$\lambda'_{311} = 0.10, \lambda'_{1(2)33} = 0.05$	1212.1272
	Bilinear RPV CMSSM	1 e, μ	7 jets	Yes	4.7	\tilde{g}, \tilde{g} 1.2 TeV	$m(\tilde{g}) = m(\tilde{g}), c\tau_{\text{LSP}} < 1 \text{ mm}$	ATLAS-CONF-2012-140
	$\tilde{\chi}_1^\pm\tilde{\chi}_1^\pm, \tilde{\chi}_1^\pm \rightarrow W\tilde{\chi}_1^0, \tilde{\chi}_1^0 \rightarrow ee\tilde{\nu}_\mu, e\mu\tilde{\nu}_e$	4 e, μ	0	Yes	20.7	$\tilde{\chi}_1^\pm$ 760 GeV	$m(\tilde{\chi}_1^0) > 300 \text{ GeV}, \lambda'_{211} > 0$	ATLAS-CONF-2013-036
	$\tilde{\chi}_1^\pm\tilde{\chi}_1^\pm, \tilde{\chi}_1^\pm \rightarrow W\tilde{\chi}_1^0, \tilde{\chi}_1^0 \rightarrow \tau\tilde{\nu}_\tau, e\tau\tilde{\nu}_\tau$	3 $e, \mu + \tau$	0	Yes	20.7	$\tilde{\chi}_1^\pm$ 350 GeV	$m(\tilde{\chi}_1^0) > 80 \text{ GeV}, \lambda'_{131} > 0$	ATLAS-CONF-2013-036
	$\tilde{g} \rightarrow q\tilde{q}$	0	6 jets	-	4.6	\tilde{g} 666 GeV		1210.4613
	$\tilde{g} \rightarrow \tilde{t}_1 t, \tilde{t}_1 \rightarrow b\tilde{s}$	2 e, μ (SS)	0-3 b	Yes	20.7	\tilde{g} 880 GeV		ATLAS-CONF-2013-007
Other	Scalar gluon	0	4 jets	-	4.6	sgluon 100-287 GeV	incl. limit from 1110.2693	1210.4626
	WIMP interaction (D5, Dirac χ)	0	mono-jet	Yes	10.5	M^* scale 704 GeV	$m(\chi) < 80 \text{ GeV}, \text{ limit of } c\tau < 687 \text{ GeV} \text{ for D8}$	ATLAS-CONF-2012-147

$\sqrt{s} = 7 \text{ TeV}$ full data
 $\sqrt{s} = 8 \text{ TeV}$ partial data
 $\sqrt{s} = 8 \text{ TeV}$ full data

10⁻¹ 1 Mass scale [TeV]

*Only a selection of the available mass limits on new states or phenomena is shown. All limits quoted are observed minus 1 σ theoretical signal cross section uncertainty.

ヒント (その3)

スーパーパートナーが未発見 @ LHC

Kaluza-Klein粒子も未発見 @ LHC

→ 標準模型を超える物理の兆候が見えていない @ LHC

→ 「2次発散の問題」,
「ゲージ階層性の問題」
の再検討が迫られる!?

【2次発散の問題】

$$\delta m_h^2 = \boxed{C_h \Lambda^2} + C'_h m_h^2 \ln \frac{\Lambda^2}{m_h^2} + \dots$$

Λ : 理論の適用限界のスケール

$\sqrt{C_h} \Lambda \gg m_h$ ならば、微調整が必要で
不自然??

微調整が必要でないためには、

$$C_h \approx 0 \quad \text{and/or} \quad \Lambda \leq O(1)\text{TeV}$$

$$\delta m_h^2 = C_h \Lambda^2 + C'_h m_h^2 \ln \frac{\Lambda^2}{m_h^2} + \dots$$

1 ループレベルで

$$C_h = \frac{1}{16\pi^2} \left(6\lambda + \frac{9}{4} g^2 + \frac{3}{4} g'^2 - 6y_t^2 \right)$$
$$= \frac{3}{16\pi^2 v^2} \left(m_h^2 + 2M_W^2 + M_Z^2 - 4m_t^2 \right)$$

$$C_h = 0 \Rightarrow m_h^2 = 4m_t^2 - 2M_W^2 - M_Z^2$$

(Veltman condition)

$$\delta m_h^2 = C_h \Lambda^2 + C'_h m_h^2 \ln \frac{\Lambda^2}{m_h^2} + \dots$$

1 ループレベルで

$$C_h = \frac{1}{16\pi^2} \left(6\lambda + \frac{9}{4} g^2 + \frac{3}{4} g'^2 - 6y_t^2 \right)$$
$$= \frac{3}{16\pi^2 v^2} \left(m_h^2 + 2M_W^2 + M_Z^2 - 4m_t^2 \right)$$

$$C_h = 0 \Big|_{M_Z} \Rightarrow m_h \cong 320 \text{ GeV}$$

$$C_h \approx 0 \Big|_{M_{\text{Pl}}}$$

Y. Hamada, H. Kawai, & K. Oda,
Phys. Rev. D **87**, 053009 (2013)

$$\delta m_h^2 = C_h \Lambda^2 + C'_h m_h^2 \ln \frac{\Lambda^2}{m_h^2} + \dots$$

$$C_h = \frac{1}{16\pi^2} \left(6\lambda + \frac{9}{4} g^2 + \frac{3}{4} g'^2 - 6y_t^2 \right)$$
$$= \frac{3}{16\pi^2 v^2} \left(m_h^2 + 2M_W^2 + M_Z^2 - 4m_t^2 \right)$$

$\Lambda \leq O(1)\text{TeV}$

→ **New Physics**
@ Terascale

候補： SUSY, Extra Dimensions,
Compositeness, ...

$$\delta m_h^2 = C_h \Lambda^2 + C'_h m_h^2 \ln \frac{\Lambda^2}{m_h^2} + \dots$$

$$C_h = \frac{1}{16\pi^2} \left(6\lambda + \frac{9}{4} g^2 + \frac{3}{4} g'^2 - 6y_t^2 \right)$$
$$= \frac{3}{16\pi^2 v^2} \left(m_h^2 + 2M_W^2 + M_Z^2 - 4m_t^2 \right)$$

$$\Lambda \leq O(1)\text{TeV}$$

→ New Physics
@ Terascale

New Physicsの兆候がないために問題が再発？

【ゲージ階層性の問題】

仮に2次発散が除去されたとしても、

$$\delta m_h^2 = C'_h m_h^2 \ln \Lambda^2 / m_h^2 + \sum_k C''_h M_k^2 \ln \Lambda^2 / M_k^2 + \dots$$

標準模型を超える重い粒子の寄与

$C''_h M_k^2 \gg m_h^2$ ならば、微調整が必要で
不自然??

大統一理論において深刻な問題

→ 超対称性による相殺?

$$\delta m_h^2 = C'_h m_h^2 \ln \Lambda^2 / m_h^2 + \sum_k C''_h M_k^2 \ln \Lambda^2 / M_k^2 + \dots$$

微調整の必要がないためには、

$$C''_h \approx 0 \quad \text{and/or} \quad M_k \leq O(1)\text{TeV}$$

あるいは、ミラクル

$$\sum_k C''_h M_k^2 \ln \Lambda^2 / M_k^2 = 0?$$

$$M_k \leq O(1)\text{TeV}$$

→ ミラクルが関与しない新粒子があるとすれば、テラスケールの辺り。

【様々な実験結果からわかったこと】

(その1) ゲージ結合定数の精密測定

力の大統一 → 新粒子の存在

(その2) ヒッグス粒子の質量

真空の安定性 → 新粒子の存在

(その3) New physicsの兆候が見えていない。

ミラクルが関与しない

ゲージ階層性の問題 → 新粒子が存在するとすれば、テラスケール

【代替案 (シナリオ)】

標準模型 + テラスケールの新粒子
スーパーパートナーはない!



大砂漠

基礎理論 @ プランクスケール M_{Pl}

M_{Pl} で力の大統一, 超対称性が実現!

このシナリオの土台をもっとしっかりする
ためには, 「2次発散の問題」と「ゲージ
階層性の問題」をクリアする必要がある。

【代替案 (シナリオ)】

標準模型 + テラスケールの新粒子
スーパーパートナーはない!



大砂漠

基礎理論 @ プランクスケール M_{Pl}
 M_{Pl} で力の大統一, 超対称性が実現!

「2次発散の問題」
→ 2章のテーマ

M_{Pl} での「ゲージ階層性の問題」
→ 3章のテーマ

【2次発散の問題】

$$\delta m_h^2 = C_h \Lambda^2 + C'_h m_h^2 \ln \Lambda^2 / m_h^2 + \sum_k C''_h M_k^2 \ln \Lambda^2 / M_k^2 + \dots$$

【ゲージ階層性の問題】

2. 自然さを巡って

2次発散の問題を再考する。

- 「自然さ」とは 復習
- 自然さとスケール不変性 復習
- 自然さと双対性

Y.K., “Naturalness, conformal symmetry and duality”, to appear in *Prog. Theor. Exp. Phys.* arXiv:1308.5069 [hep-ph]

・「自然さ」とは

次のドグマに基づく概念

G. 't Hooft, (1979)

“任意のスケール μ で、パラメータの値をゼロにしたとき、つまり、 $a_i(\mu) = 0$ のとき、系の対称性が増大するならば、 $a_i(\mu)$ の値として極めて小さな値が許される。”

$$\delta a = a h(\Lambda^2) + k(\Lambda^2)$$

対称性
により

・「自然さ」とは

次のドグマに基づく概念 G. 't Hooft, (1979)

“任意のスケール μ で、パラメータの値をゼロにしたとき、つまり、 $a_i(\mu) = 0$ のとき、系の対称性が増大するならば、 $a_i(\mu)$ の値として極めて小さな値が許される。”

$$\delta a = a h(\Lambda^2)$$

このような性質を有するパラメータを「自然なパラメータ」と呼ぶ。

(代表例) 電子の質量 m_e

$m_e \rightarrow 0$ でカイラル対称性が成立。

$$\psi_L \rightarrow e^{i\theta_L} \psi_L, \quad \psi_R \rightarrow e^{i\theta_R} \psi_R$$

(θ_L, θ_R : 独立な実定数)

$\theta_L = -\theta_R$ に対して

$$\langle \partial_\mu j_A^\mu \rangle = 2i(m_e + \delta m_e)(\psi_L^\dagger \psi_R - \psi_R^\dagger \psi_L) + \frac{e^2}{16\pi^2} \varepsilon_{\mu\nu\alpha\beta} F^{\mu\nu} F^{\alpha\beta}$$

$$\delta m_e = \frac{3\alpha}{4\pi} m_e \left(\ln \frac{\Lambda^2}{m_e^2} + \frac{1}{2} \right)$$

$$m_e \rightarrow 0 \text{ で } \delta m_e \rightarrow 0$$

カイラル対称性が量子補正を制御!

(補足)

$m_e \rightarrow 0$ でスケール不変性が成立。

$$\psi_L \rightarrow e^{\rho/2} \psi_L, \quad \psi_R \rightarrow e^{\rho/2} \psi_R$$

(ρ : 実定数)

$$\langle T_{\mu}^{\mu} \rangle = 2(m_e + \delta m_e)(\psi_L^{\dagger} \psi_R + \psi_R^{\dagger} \psi_L) + \frac{\beta_{\alpha}}{\alpha} F^{\mu\nu} F_{\mu\nu}$$

$$\delta m_e = \frac{3\alpha}{4\pi} m_e \left(\ln \frac{\Lambda^2}{m_e^2} + \frac{1}{2} \right)$$

$$m_e \rightarrow 0 \text{ で } \delta m_e \rightarrow 0$$

・ 自然さと スケール不変性

スカラー粒子の質量 m_ϕ は自然なパラメータか？

$m_\phi \rightarrow 0$ でスケール不変性が成立？

$$\langle T_\mu^\mu \rangle = 2(m_\phi^2 + \delta m_\phi^2)\phi^2 + \sum_k \beta_k O_k$$

O_k : 結合定数 a_k に関する次元 4 の演算子

$m_\phi^2 \rightarrow 0$ で $\delta m_\phi^2 \rightarrow 0$ か？

$\delta m_\phi^2 \propto m_\phi^2$ か？

ϕ^4 理論で

$$\delta m_\phi^2 = \frac{\text{Diagram}}{\lambda_\phi}$$

$$\delta m_\phi^2 = \frac{\lambda_\phi}{2} \int_{-\infty}^{\infty} \frac{d^4 p}{(2\pi)^4} \frac{1}{p^2 + m_\phi^2} = \frac{\lambda_\phi}{2} \frac{\pi^2}{(2\pi)^4} \int_0^{\infty} \frac{p^2 dp^2}{p^2 + m_\phi^2}$$

$$= \frac{\lambda_\phi}{32\pi^2} \left(\int_0^{\infty} dp^2 - m_\phi^2 \int_0^{\infty} \frac{dp^2}{p^2 + m_\phi^2} \right)$$

正則化

$$= \frac{\lambda_\phi}{32\pi^2} \left(\int_0^{\Lambda^2 - m_\phi^2} dp^2 - m_\phi^2 \int_0^{\Lambda^2 - m_\phi^2} \frac{dp^2}{p^2 + m_\phi^2} \right)$$

$$= \frac{\lambda_\phi}{32\pi^2} \left(\Lambda^2 - m_\phi^2 - m_\phi^2 \ln \frac{\Lambda^2}{m_\phi^2} \right)$$

$$\delta m_\phi^2 = \frac{\lambda_\phi}{32\pi^2} \left(\Lambda^2 - m_\phi^2 - m_\phi^2 \ln \frac{\Lambda^2}{m_\phi^2} \right)$$

ずっと，言われてきたこと

$$m_\phi^2 \rightarrow 0 \text{ で } \delta m_\phi^2 = \frac{\lambda_\phi}{32\pi^2} \Lambda^2 \neq 0$$

となり，スケール不変性が回復しないため m_ϕ は自然なパラメータではない。
これが「2次発散の問題」の根源!?

果たしてそうなのか？

【バーディーンによる推論】

W. A. Bardeen,
(1995) 御岳での
SIにて

スケール不変性の破れ

$$\langle T_{\mu}^{\mu} \rangle = m_h^2 + \delta m_h^2 + \sum_k \beta_k O_k$$

$m_h^2 \rightarrow 0, \beta_k \rightarrow 0$ で古典的なスケール
不変性が回復するはず。

$$\delta m_h^2 = C \cancel{\Lambda^2} + C' m_h^2 \ln \frac{\Lambda^2}{m_h^2} + \dots$$

このような結果を導く計算方法が妥当。

正則化には不定性が潜んでいる。

- 次元正則化において2次発散は現れない。

$$\delta m_\phi^2 = \frac{\lambda_\phi}{32\pi^2} m_\phi^2 \left(-\frac{2}{\varepsilon} + \gamma - 1 + \dots \right)$$

- 引き算による繰り込み法の提案

K. Fujikawa,

Phys. Rev. D **83**, 105012 (2011)

- ウィルソン流繰り込み群の観点からの2次発散の除去

H. Aoki & S. Iso,

Phys. Rev. D **86**, 013001 (2012)

2次発散は正則化に伴う人工物。

→ 物理的効果を及ぼさない場合は、
(勝手に) 消去可能。

→ 根拠として、有効理論におけるスケール不変性が期待されている。

(私には) 何か、違和感がある。

- 量子補正は基礎理論に関係する？
- 基礎理論から見ると有効理論のスケール不変性は2次的な概念では？

2次発散は正則化に伴う人工物。

→ 物理的効果を及ぼさない場合は、
(勝手に) 消去可能。

→ 根拠として、有効理論におけるスケール不変性が期待されている。

(私には) 何か、違和感がある。

【予想】 量子補正は基礎理論と関係し、2次発散の消去は基礎理論の特徴により正当化されるのでは？

・ 自然さと 双対性

【期待】

- ・ 2次発散は正則化に伴う人工物。
- ・ 物理を考慮すれば, 計算法が決まる。
- ・ 2次発散の消去も正当化される。

つまり, 「場の量子論」において量子補正に現れる紫外発散 (の一部) は, 高エネルギーの物理を正しく考慮していないことに伴う「みかけのもの」

【仮定】

- (a) 基本的なスケール Λ を有する基礎理論が存在する。
- (b) 基礎理論には双対性が存在する。
物理@ $E(\geq \Lambda) \sim$ 物理@ $E(\leq \Lambda)$
 - (b1) 物理は双対性変換の下で不変。
 - (b2) 物理はどちらかの領域で記述すれば十分である。
- (c) 低エネルギー有効理論にも, Λ に関係する物理量に対して双対性の名残りが存在する。

(例) パラメータ a の量子補正

$$\delta a = \int_0^\infty f(p^2) dp^2$$

p^2 : ループを飛ぶ質量ゼロの粒子の (ユークリッド化された) 4元運動量の2乗

$p^2 = \infty$ and/or $p^2 = 0$ で発散。

通常やることは「正則化」

$$\delta a = \int_{\mu_0^2}^{\Lambda^2} f(p^2) dp^2$$

【我々の方法】

$$\delta a = \int_0^\infty f(p^2) dp^2 \text{ を } \delta a = \int_{\mu_0^2}^{\Lambda^4/\mu_0^2} f(p^2) dp^2 \text{ として}$$

$$\delta a = \int_{\mu_0^2}^{\Lambda^2} f(p^2) dp^2 + \int_{\Lambda^2}^{\Lambda^4/\mu_0^2} f(p^2) dp^2$$

とする。

$$\left(\xrightarrow{\mu_0^2 \rightarrow 0} \delta a = \int_0^\infty f(p^2) dp^2 \right)$$

双対性変換で

$$\int_{\mu_0^2}^{\Lambda^2} f(p^2) dp^2 = \int_{\Lambda^2}^{\Lambda^4/\mu_0^2} f(p^2) dp^2$$

が成り立つならば, (b2)より

(b2) 物理はどちらかの領域で記述すれば十分である。

$$\delta a = \int_{\mu_0^2}^{\Lambda^2} f(p^2) dp^2$$

$$\int_{\mu_0^2}^{\Lambda^2} f(p^2) dp^2 = \int_{\Lambda^2}^{\Lambda^4/\mu_0^2} f(p^2) dp^2$$

$$\delta a = \int_{\mu_0^2}^{\Lambda^2} f(p^2) dp^2 \quad \text{に対して,}$$

双対性変換 $p^2 \rightarrow p'^2 = \Lambda^4/p^2$
を要請すると, (b1)より

$$\int_{\mu_0^2}^{\Lambda^2} f(p^2) dp^2 = \int_{\Lambda^4/\mu_0^2}^{\Lambda^2} f(p'^2) dp'^2 = \int_{\Lambda^2}^{\Lambda^4/\mu_0^2} f(\Lambda^4/p^2) \frac{\Lambda^4}{p^4} dp^2$$

$f(p^2)$ が Λ を含まないとき, $f(p^2) = \frac{c_{-1}}{p^2}$ が解。

$$\text{このとき, } \delta a = \int_{\mu_0^2}^{\Lambda^2} \frac{c_{-1}}{p^2} dp^2 = c_{-1} \ln \frac{\Lambda^2}{\mu_0^2}$$

基礎理論では、「双対性」の成立は理論の成否に係わる。

$$\delta a = (\text{双対変換の下で不変な項})$$

一方、低エネルギー有効理論では、「双対性の名残り」は隠れていて、理論の成否には係わらない。

$$\delta a = \int_{\mu_0^2}^{\Lambda^2} f(p^2) dp^2$$

⇒ (双対変換の名残りの下で不変な項)

取り出す操作

(補足) 基礎理論の候補としての弦理論 → 世界面上のモジュラー不変性

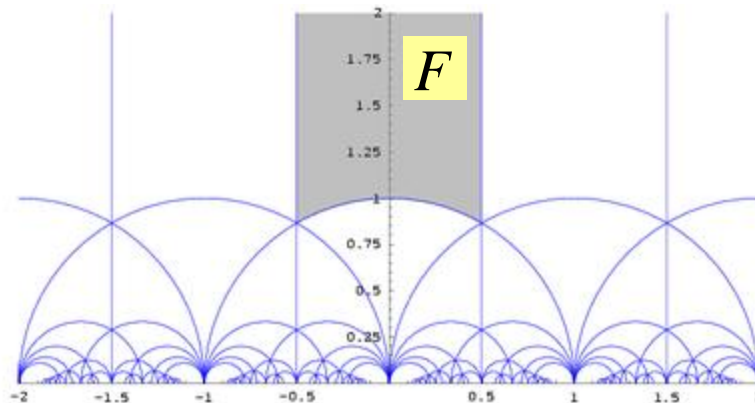
$$\delta a = \int_F \frac{d^2 \tau}{\tau_2^2} G(\tau)$$

$$\tau = \tau_1 + i\tau_2$$

$$F = \{\tau : |\operatorname{Re} \tau| \leq 1/2, 1 \leq |\tau|\}$$

$G(\tau)$: 世界面上のモジュラー不変な関数

$$\tau \rightarrow \frac{a\tau + b}{c\tau + d}, \quad (a, b, c, d \in \mathbb{Z}, ad - bc = 1)$$



$$\left(\begin{array}{l} \tau \rightarrow -\frac{1}{\tau}, \quad \tau \rightarrow \tau + 1 \end{array} \right)$$

Wikipedia より

$$\delta a = \int_{\mu_0^2}^{\Lambda^2} f(p^2) dp^2$$

⇒ (双対変換の名残りの下で不変な項)

取り出す操作

Du[*]と表記する。

$f(p^2)$ が Λ を含まないとき, $f(p^2) = \sum_n c_n (p^2)^n$

のように展開されたとして, $p^2 \rightarrow p'^2 = \Lambda^4 / p^2$

$$\begin{aligned} \delta a &= \text{Du} \left[\int_{\mu_0^2}^{\Lambda^2} f(p^2) dp^2 \right] = \text{Du} \left[\int_{\mu_0^2}^{\Lambda^2} \sum_n c_n (p^2)^n dp^2 \right] \\ &= \int_{\mu_0^2}^{\Lambda^2} \frac{c_{-1}}{p^2} dp^2 = c_{-1} \ln \frac{\Lambda^2}{\mu_0^2} \end{aligned}$$

スカラー粒子の質量の量子補正

質量がゼロの場合,

$$\begin{aligned}\delta m_\phi^2 &= \frac{\lambda_\phi}{2} \int_{-\infty}^{\infty} \frac{d^4 p}{(2\pi)^4} \frac{1}{p^2} = \frac{\lambda_\phi}{32\pi^2} \int_0^\infty dp^2 \\ \Rightarrow \frac{\lambda_\phi}{32\pi^2} \int_{\mu_0^2}^{\Lambda^4/\mu_0^2} dp^2 &= \frac{\lambda_\phi}{32\pi^2} \int_{\mu_0^2}^{\Lambda^2} dp^2 + \frac{\lambda_\phi}{32\pi^2} \int_{\Lambda^2}^{\Lambda^4/\mu_0^2} dp^2\end{aligned}$$



$$p^2 \rightarrow p'^2 = \Lambda^4/p^2$$

$$\delta m_\phi^2 = \text{Du} \left[\frac{\lambda_\phi}{32\pi^2} \int_0^\infty dp^2 \right] = 0$$

質量がゼロでない場合, 以下の方法で解析する。

- Momentum cutoff method
- Proper time method

Momentum cutoff method,

$$\delta m_\phi^2 = \frac{\lambda_\phi}{32\pi^2} \left(\int_0^\infty dp^2 - m_\phi^2 \int_0^\infty \frac{dp^2}{p^2 + m_\phi^2} \right)$$

$$\Rightarrow \frac{\lambda_\phi}{32\pi^2} \left(\int_0^{\Lambda_\phi^2} dp^2 - m_\phi^2 \int_0^{\Lambda_\phi^2} \frac{dp^2}{p^2 + m_\phi^2} \right)$$

$$\Lambda_\phi^2 \equiv \left(\Lambda^4 / m_\phi^2 \right) - m_\phi^2$$

$$= \frac{\lambda_\phi}{32\pi^2} \left(\int_0^{\Lambda^2 - m_\phi^2} dp^2 + \int_{\Lambda^2 - m_\phi^2}^{\Lambda_\phi^2} dp^2 \right) - \frac{\lambda_\phi m_\phi^2}{32\pi^2} \left(\int_0^{\Lambda^2 - m_\phi^2} \frac{dp^2}{p^2 + m_\phi^2} + \int_{\Lambda^2 - m_\phi^2}^{\Lambda_\phi^2} \frac{dp^2}{p^2 + m_\phi^2} \right)$$



$$p^2 + m_\phi^2 \rightarrow \Lambda^4 / (p^2 + m_\phi^2)$$

$$\delta m_\phi^2 = - \frac{\lambda_\phi m_\phi^2}{32\pi^2} \int_0^{\Lambda^2 - m_\phi^2} \frac{dp^2}{p^2 + m_\phi^2} = - \frac{\lambda_\phi m_\phi^2}{32\pi^2} \ln \frac{\Lambda^2}{m_\phi^2}$$

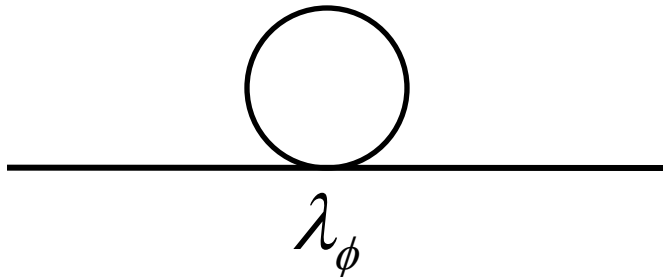
The proper time method,

$$\delta m_\phi^2 = \frac{\lambda_\phi}{2} \int_{-\infty}^{\infty} \frac{d^4 p}{(2\pi)^4} \frac{1}{p^2 + m_\phi^2} = \frac{\lambda_\phi}{2} \int_{-\infty}^{\infty} \frac{d^4 p}{(2\pi)^4} \int_0^{\infty} e^{-(p^2 + m_\phi^2)t} dt$$

$$= \frac{\lambda_\phi}{32\pi^2} \int_0^{\infty} \frac{e^{-m_\phi^2 t}}{t^2} dt$$

t : proper time

$$\Rightarrow \frac{\lambda_\phi}{32\pi^2} \int_{1/\tilde{\Lambda}_\phi^2}^{1/m_\phi^2} \frac{dt}{t^2} - \frac{\lambda_\phi m_\phi^2}{32\pi^2} \int_{1/\tilde{\Lambda}_\phi^2}^{1/m_\phi^2} \frac{dt}{t} + \frac{\lambda_\phi m_\phi^4}{64\pi^2} \int_{1/\tilde{\Lambda}_\phi^2}^{1/m_\phi^2} dt + \dots$$



$$\tilde{\Lambda}_\phi^2 \equiv \Lambda^4 / m_\phi^2$$

$$\begin{aligned}
\delta m_\phi^2 &= \frac{\lambda_\phi}{32\pi^2} \int_{1/\tilde{\Lambda}_\phi^2}^{1/m_\phi^2} \frac{dt}{t^2} - \frac{\lambda_\phi m_\phi^2}{32\pi^2} \int_{1/\tilde{\Lambda}_\phi^2}^{1/m_\phi^2} \frac{dt}{t} + \frac{\lambda_\phi m_\phi^4}{32\pi^2} \int_{1/\tilde{\Lambda}_\phi^2}^{1/m_\phi^2} dt + \dots \\
&= \frac{\lambda_\phi}{32\pi^2} \left(\int_{1/\Lambda^2}^{1/m_\phi^2} \frac{dt}{t^2} + \int_{1/\tilde{\Lambda}_\phi^2}^{1/\Lambda^2} \frac{dt}{t^2} \right) - \frac{\lambda_\phi m_\phi^2}{32\pi^2} \left(\int_{1/\Lambda^2}^{1/m_\phi^2} \frac{dt}{t} + \int_{1/\tilde{\Lambda}_\phi^2}^{1/\Lambda^2} \frac{dt}{t} \right) \\
&\quad + \frac{\lambda_\phi m_\phi^4}{32\pi^2} \left(\int_{1/\Lambda^2}^{1/m_\phi^2} dt + \int_{1/\tilde{\Lambda}_\phi^2}^{1/\Lambda^2} dt \right) + \dots
\end{aligned}$$

$\tilde{\Lambda}_\phi^2 \equiv \Lambda^4 / m_\phi^2$



$$t \rightarrow 1/(\Lambda^4 t)$$

$$\delta m_\phi^2 = \text{Du} \left[\frac{\lambda_\phi}{32\pi^2} \int_0^\infty \frac{e^{-m_\phi^2 t}}{t^2} dt \right] = -\frac{\lambda_\phi m_\phi^2}{32\pi^2} \int_{1/\Lambda^2}^{1/m_\phi^2} \frac{dt}{t} = -\frac{\lambda_\phi m_\phi^2}{32\pi^2} \ln \frac{\Lambda^2}{m_\phi^2}$$

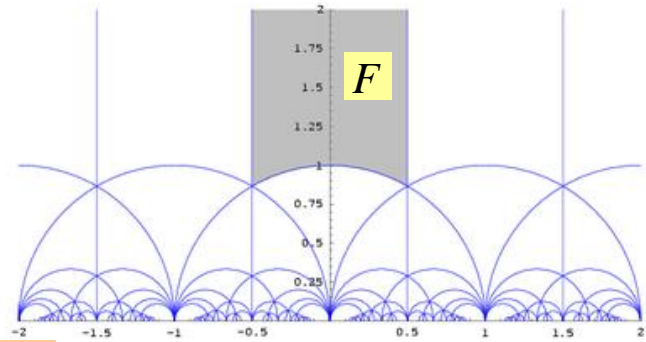
異なる双対変換に対して,

$$\delta m_\phi^2 = \frac{\lambda_\phi}{32\pi^2} \int_0^\infty \frac{e^{-m_\phi^2 t}}{t^2} dt = \frac{\lambda_\phi}{32\pi^2} \int_0^\infty d\tau_2 \int_{-1/2}^{1/2} d\tau_1 \frac{\Lambda^2}{\tau_2^2} e^{-\frac{m_\phi^2}{\Lambda^2} \tau_2} dt$$

$$\tau_2 \equiv \Lambda^2 t \quad \tau = \tau_1 + i\tau_2$$



$$\tau \rightarrow -\frac{1}{\tau}, \quad \tau \rightarrow \tau + 1$$



Wikipedia より

$$\delta m_\phi^2 = \text{Du} \left[\frac{\lambda_\phi}{32\pi^2} \int_0^\infty d\tau_2 \int_{-1/2}^{1/2} d\tau_1 \frac{\Lambda^2}{\tau_2^2} e^{-\frac{m_\phi^2}{\Lambda^2} \tau_2} dt \right]$$

$$= \frac{\lambda_\phi \Lambda^2}{32\pi^2} \int_F \frac{d^2 \tau}{\tau_2^2} = \frac{\lambda_\phi}{32\pi^2} \frac{\pi}{2} \Lambda^2$$

$$F = \{ \tau : |\text{Re } \tau| \leq 1/2, 1 \leq |\tau| \}$$

$$\tau \rightarrow -\frac{1}{\tau}, \quad \tau \rightarrow \tau + 1$$

$$F = \{\tau : |\operatorname{Re} \tau| \leq 1/2, 1 \leq |\tau|\}$$

$$\delta m_\phi^2 = \operatorname{Du} \left[\frac{\lambda_\phi}{32\pi^2} \int_0^\infty d\tau_2 \int_{-1/2}^{1/2} d\tau_1 \frac{\Lambda^2}{\tau_2^2} e^{-\frac{m_\phi^2}{\Lambda^2} \tau_2} dt \right] = \frac{\lambda_\phi \Lambda^2}{32\pi^2} \int_F \frac{d^2 \tau}{\tau_2^2} = \frac{\lambda_\phi}{32\pi^2} \frac{\pi}{2} \Lambda^2$$

$$t \rightarrow 1/(\Lambda^4 t)$$



不変測度の違いによる

$$\delta m_\phi^2 = \operatorname{Du} \left[\frac{\lambda_\phi}{32\pi^2} \int_0^\infty \frac{e^{-m_\phi^2 t}}{t^2} dt \right] = -\frac{\lambda_\phi m_\phi^2}{32\pi^2} \int_{1/\Lambda^2}^{1/m_\phi^2} \frac{dt}{t} = -\frac{\lambda_\phi m_\phi^2}{32\pi^2} \ln \frac{\Lambda^2}{m_\phi^2}$$

物理的に意味のある値を得るために、
双対変換をうまく選択する必要がある。

究極の理論の対応物との整合性により 決まるのでは？

$$\delta m_\phi^2 = \frac{\lambda_\phi}{32\pi^2} \int_0^\infty \frac{e^{-m_\phi^2 t}}{t^2} dt = \frac{\lambda_\phi}{32\pi^2} \int_0^\infty d\tau_2 \int_{-1/2}^{1/2} d\tau_1 \frac{\Lambda^2}{\tau_2^2} e^{-\frac{m_\phi^2}{\Lambda^2} \tau_2} dt$$

$$\tau \rightarrow \frac{a\tau + b}{c\tau + d}$$



$$\tau \rightarrow -\frac{1}{\tau}$$

&

$$\tau \rightarrow \tau + 1$$

$$\tau = \tau_1 + i\tau_2$$

$$\tau_1 = 0$$



$$\tau_2 \rightarrow \frac{1}{\tau_2}$$

$$\tau_2 \equiv \Lambda^2 t$$



Field th. limit

$$t \rightarrow 1/(\Lambda^4 t)$$

2章のまとめ

- ・ スカラー粒子の質量の2乗の量子補正に現れる2次発散は正則化に伴う人工物である可能性がある。

→ 繰り込みを行えば，問題なし。

問題ではないとしても，物理が存在すれば重要！ → 隠れた双対性？

- ・ 隠れた双対性を考慮することにより，2次発散を取り除き有限な値を導く計算法を提案した。

3. ゲージ階層性を巡って ゲージ階層性の問題を再考する。

- 「ゲージ階層性」とは
- ゲージ階層性と超対称性
- ゲージ階層性とフェルミ的対称性

Y.K., “Gauge hierarchy problem, supersymmetry and fermionic symmetry”,
arXiv:1311.2365 [hep-ph]

【2次発散の問題】

$$\delta m_h^2 = \boxed{C_h \Lambda^2} + C'_h m_h^2 \ln \Lambda^2 / m_h^2$$
$$+ \boxed{\sum_k C''_h M_k^2 \ln \Lambda^2 / M_k^2} + \dots$$

【ゲージ階層性の問題】

【ゲージ階層性の問題】

低エネルギーの物理(標準模型)のパラメータの値は、高エネルギーの物理(重い粒子との相互作用)による量子補正の下で安定に保たれるか？

ゲージ階層性と超対称性

ボソン \leftrightarrow フェルミオン

ϕ 超対称性 ψ

$$\delta m_{\phi}^2 = \text{---} \overset{\phi}{\bigcirc} \text{---} + \text{---} \overset{\psi}{\bigcirc} \text{---}$$
$$= 0$$

ボソン



フェルミオン

超対称性

massless

ϕ_0

ψ_0

heavy

ϕ_1

ϕ_2

ψ_1

ψ_2

Ψ

$$\delta m_{\phi_i}^2 = 0, \quad \delta m_{\psi_0} = 0, \quad \delta m_{\Psi} = 0$$

ボソン



フェルミオン

超対称性

massless

ϕ_0

~~ψ_0~~

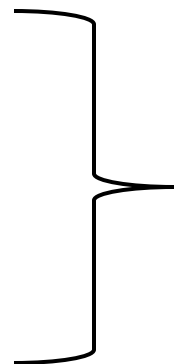
手で落としたとする。

heavy

ϕ_1

ϕ_2

ψ_1
 ψ_2



Ψ

$$\delta m_{\phi_0}^2 |_{1\text{loop}} = 0$$

← heavy fields と SUSY 不変に相互作用するため

$$\delta m_{\phi_1}^2 - \delta m_{\Psi}^2 |_{1\text{loop}} = O(M^2)$$



$$\delta m_{\phi_0}^2 |_{2\text{loop}} = O(M^2)$$

ゲージ階層性問題 (の根源・本質)

対称性の高い系
重い粒子の系

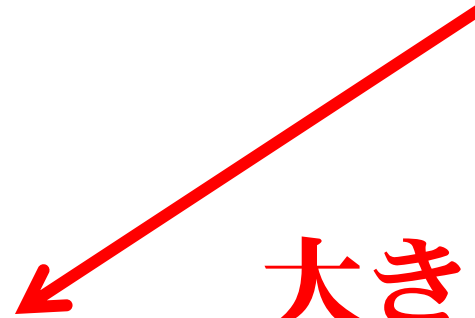


対称性の一部が崩壊！



相互作用

対称性の低い系
標準模型



大きな量子補正

ゲージ階層性問題 (の根源・本質)

高エネルギーの物理の構造・特徴を損なわずに，低エネルギーの物理(標準模型)と重い粒子との相互作用を定式化できるか？

Cf. 低エネルギーの物理(標準模型)のパラメータの値は，高エネルギーの物理(重い粒子との相互作用)による量子補正の下で安定に保たれるか？

ゲージ階層性問題 (の根源・本質)

対称性の高い系
重い粒子の系

↕ 相互作用

対称性の低い系
標準模型



~~対称性の一部が崩壊!~~



~~大きな量子補正~~

$$\delta m_h^2 = C_h \Lambda^2 + C'_h m_h^2 \ln \Lambda^2 / m_h^2 + \sum_k C''_h M_k^2 \ln \Lambda^2 / M_k^2 + \dots$$

【ゲージ階層性の問題】

従来：主に量子補正に注目

今回：高エネルギーの物理の構造・
特徴に注目

- **ゲージ階層性とフェルミ的対称性**

【仮定】

(a) M_U に基礎理論が存在する。

$\left\{ \begin{array}{l} O(M_U) \text{ の質量を持つ重い粒子} \\ \text{質量ゼロの粒子(の物理的な粒子)} \rightarrow \text{SM} + \alpha \end{array} \right.$

(b) $\text{SM} + \alpha$ の背後に未知の特徴 Xが存在する。Xを含む有効理論で記述。

(c) 全有効理論 = $X_{\text{heavy}} + X_{\text{light}} + X_{\text{mix}}$

ゲージ階層性の問題は生じない。

(c1) $\text{SM} + \alpha$ のパラメータは量子補正の下で安定。

(c2) 特徴 Xは $\text{SM} + \alpha$ の物理に影響されずに保持される。Xは何か?

超対称性がヒントになる！

ボソン \leftrightarrow フェルミオン

超対称性

統計性の異なる粒子 \rightarrow 寄与の相殺

(特徴) $\{Q_\alpha, \bar{Q}_{\dot{\alpha}}\} = 2\sigma_{\alpha\dot{\alpha}}^\mu P_\mu$

Q_α - singlet, $\bar{Q}_{\dot{\alpha}}$ - singlet

$$Q_\alpha \Psi(x) = 0, \quad \bar{Q}_{\dot{\alpha}} \Psi(x) = 0$$

は有り得ない。

$$\because P_\mu \Psi(x) = i\partial_\mu \Psi(x) \neq 0$$

必ず、対を成す！

Xは新しい対称性

$$(Q_F, Q_F^\dagger)$$

SM+ α の粒子は

Q_F - singlets

重い粒子 φ は

Q_F - doublets

φ

$$\longleftrightarrow$$

(Q_F, Q_F^\dagger)

???

寄与の相殺

→統計性の異なる粒子？

新しい対称性X

$$(Q_F, Q_F^\dagger)$$

SM+ α の粒子は

Q_F - singlets

重い粒子 φ は

Q_F - doublets

$$\varphi \quad \longleftrightarrow \quad (Q_F, Q_F^\dagger)$$

C_φ

ゴースト？

寄与の相殺

→ 統計性の異なる粒子？

Toy model

軽い粒子 ϕ

Q_F - singlet

重い粒子 (φ, c_φ)

Q_F - doublet

$$L_T = L_\phi + L_{\varphi,c} + L_{mix}$$

$$L_\phi = \partial_\mu \phi^\dagger \partial^\mu \phi - m_\phi^2 \phi^\dagger \phi - \lambda_\phi (\phi^\dagger \phi)^2$$

$$L_{\varphi,c} = \partial_\mu \varphi^\dagger \partial^\mu \varphi + \partial_\mu c_\varphi^\dagger \partial^\mu c_\varphi - M_\varphi^2 (\varphi^\dagger \varphi + c_\varphi^\dagger c_\varphi) \\ - \lambda_\varphi (\varphi^\dagger \varphi + c_\varphi^\dagger c_\varphi) \bullet (\varphi^\dagger \varphi + c_\varphi^\dagger c_\varphi)$$

非局所相互作用

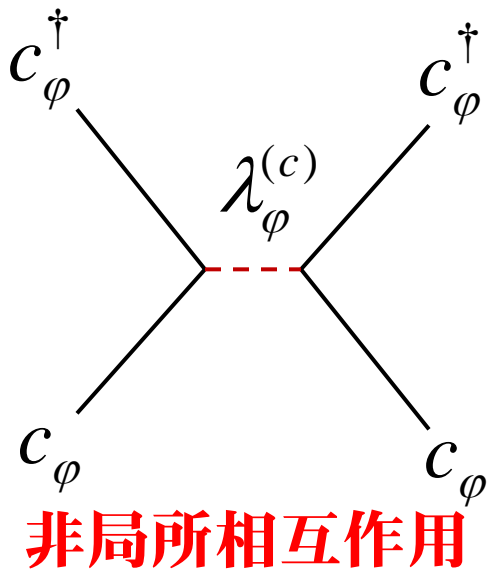
$$L_{mix} = -\lambda' \phi^\dagger \phi (\varphi^\dagger \varphi + c_\varphi^\dagger c_\varphi)$$

$$\tilde{L}_T = L_\phi + \tilde{L}_{\phi,c} + \tilde{L}_{mix}$$

$$L_\phi = \partial_\mu \phi^\dagger \partial^\mu \phi - m_\phi^2 \phi^\dagger \phi - \lambda_\phi (\phi^\dagger \phi)^2$$

$$\begin{aligned} \tilde{L}_{\phi,c} = & \partial_\mu \phi^\dagger \partial^\mu \phi + \partial_\mu c_\phi^\dagger \partial^\mu c_\phi - M_\phi^{(\phi)2} \phi^\dagger \phi - M_\phi^{(c)2} c_\phi^\dagger c_\phi \\ & - \lambda_\phi^{(\phi)} \phi^\dagger \phi \bullet \phi^\dagger \phi - 2\lambda_\phi^{(\phi,c)} \phi^\dagger \phi \bullet c_\phi^\dagger c_\phi - \lambda_\phi^{(c)} c_\phi^\dagger c_\phi \bullet c_\phi^\dagger c_\phi \end{aligned}$$

$$\tilde{L}_{mix} = -\lambda^{(\phi)} \phi^\dagger \phi \phi^\dagger \phi - \lambda^{(c)} \phi^\dagger \phi c_\phi^\dagger c_\phi$$



$$\begin{aligned} -\lambda_\phi^{(c)} : c_\phi^\dagger c_\phi c_\phi^\dagger c_\phi : &= 0 \\ (\because c_\phi^2 &= 0) \end{aligned}$$

量子補正により生じる
ため、あらかじめ必要。

$$\tilde{L}_T = L_\phi + \tilde{L}_{\phi,c} + \tilde{L}_{mix}$$

$$L_\phi = \partial_\mu \phi^\dagger \partial^\mu \phi - m_\phi^2 \phi^\dagger \phi - \lambda_\phi (\phi^\dagger \phi)^2$$

$$\begin{aligned} \tilde{L}_{\phi,c} = & \partial_\mu \phi^\dagger \partial^\mu \phi + \partial_\mu c_\phi^\dagger \partial^\mu c_\phi - M_\phi^{(\phi)2} \phi^\dagger \phi - M_\phi^{(c)2} c_\phi^\dagger c_\phi \\ & - \lambda_\phi^{(\phi)} \phi^\dagger \phi \bullet \phi^\dagger \phi - 2\lambda_\phi^{(\phi,c)} \phi^\dagger \phi \bullet c_\phi^\dagger c_\phi - \lambda_\phi^{(c)} c_\phi^\dagger c_\phi \bullet c_\phi^\dagger c_\phi \end{aligned}$$

$$\tilde{L}_{mix} = -\lambda'^{(\phi)} \phi^\dagger \phi \phi^\dagger \phi - \lambda'^{(c)} \phi^\dagger \phi c_\phi^\dagger c_\phi$$

$$\delta m_\phi^2 = \left[\begin{array}{c} \phi \\ \text{---} \\ \lambda'^{(\phi)} \end{array} \right] + \left[\begin{array}{c} c_\phi \\ \text{---} \\ \lambda'^{(c)} \end{array} \right] + \begin{array}{c} 0 \\ \phi \\ \text{---} \\ \lambda_\phi \end{array}$$

$$= -\frac{\lambda_\phi}{4\pi^2} m_\phi^2 \ln \frac{\Lambda^2}{m_\phi^2}$$

$$\leftarrow \lambda'^{(\phi)} = \lambda'^{(c)}, M_\phi^{(\phi)2} = M_\phi^{(c)2}$$

← 2次発散は削除。

$$L_\phi = \partial_\mu \phi^\dagger \partial^\mu \phi - m_\phi^2 \phi^\dagger \phi - \lambda_\phi (\phi^\dagger \phi)^2$$

$$\begin{aligned} \tilde{L}_{\phi,c} = & \partial_\mu \phi^\dagger \partial^\mu \phi + \partial_\mu c_\phi^\dagger \partial^\mu c_\phi - M_\phi^{(\phi)2} \phi^\dagger \phi - M_\phi^{(c)2} c_\phi^\dagger c_\phi \\ & - \lambda_\phi^{(\phi)} \phi^\dagger \phi \bullet \phi^\dagger \phi - 2\lambda_\phi^{(\phi,c)} \phi^\dagger \phi \bullet c_\phi^\dagger c_\phi - \lambda_\phi^{(c)} c_\phi^\dagger c_\phi \bullet c_\phi^\dagger c_\phi \end{aligned}$$

$$\tilde{L}_{mix} = -\lambda'^{(\phi)} \phi^\dagger \phi \phi^\dagger \phi - \lambda'^{(c)} \phi^\dagger \phi c_\phi^\dagger c_\phi$$

$$\delta M_\phi^{(\phi)2} = \left[\begin{array}{c} 2 \times \frac{\text{Diagram 1}}{\lambda_\phi^{(\phi)}} + \frac{\text{Diagram 2}}{2\lambda_\phi^{(\phi,c)}} + 2 \times \frac{\text{Diagram 3}}{\lambda_\phi^{(\phi)}} \end{array} \right] + \frac{\text{Diagram 4}}{\lambda'^{\phi}} = 0$$

The diagrams are:
 1. A blue circle with a red dashed line at the bottom, labeled ϕ .
 2. A red circle with a red dashed line at the bottom, labeled c_ϕ .
 3. A blue circle with a red dashed line at the bottom, labeled ϕ .
 4. A black circle with a red dashed line at the bottom, labeled ϕ .

$$= -\frac{\lambda'^{(\phi)}}{4\pi^2} m_\phi^2 \ln \frac{\Lambda^2}{m_\phi^2} + 2\lambda_\phi^{(\phi)} J_\phi \quad \Rightarrow \quad \delta M_\phi^{(\phi)2} = \delta M_\phi^{(c)2}$$

$$\lambda_\phi^{(\phi)} = \lambda_\phi^{(\phi,c)}, M_\phi^{(\phi)2} = M_\phi^{(c)2}$$

$$\lambda'^{(\phi)} = \lambda'^{(c)}, \lambda_\phi^{(c)} = \lambda_\phi^{(\phi,c)}$$

$$L_T = L_\phi + L_{\phi,c} + L_{mix}$$

$$L_\phi = \partial_\mu \phi^\dagger \partial^\mu \phi - m_\phi^2 \phi^\dagger \phi - \lambda_\phi (\phi^\dagger \phi)^2$$

$$L_{\phi,c} = \partial_\mu \phi^\dagger \partial^\mu \phi + \partial_\mu c_\phi^\dagger \partial^\mu c_\phi - M_\phi^2 (\phi^\dagger \phi + c_\phi^\dagger c_\phi) \\ - \lambda_\phi (\phi^\dagger \phi + c_\phi^\dagger c_\phi) \bullet (\phi^\dagger \phi + c_\phi^\dagger c_\phi)$$

$$L_{mix} = -\lambda' \phi^\dagger \phi (\phi^\dagger \phi + c_\phi^\dagger c_\phi)$$

質量の階層性は量子補正の下で
安定に保たれる！

対称性Xの正体は？

$$I = \phi^\dagger \phi + c_\phi^\dagger c_\phi \text{ が鍵！}$$

$$I = \varphi^\dagger \varphi + c_\varphi^\dagger c_\varphi$$

を不変にする変換
が成す群

$OSp(2|2)$

$$(1) \quad \delta_o \varphi = i\varepsilon_o \varphi, \delta_o \varphi^\dagger = -i\varepsilon_o \varphi^\dagger, \delta_o c_\varphi = 0, \delta_o c_\varphi^\dagger = 0 \quad Q_o$$

$$(2) \quad \delta_g \varphi = 0, \delta_g \varphi^\dagger = 0, \delta_g c_\varphi = i\varepsilon_g c_\varphi, \delta_g c_\varphi^\dagger = -i\varepsilon_g c_\varphi^\dagger \quad Q_g$$

$$(3) \quad \delta_F \varphi = -\zeta c_\varphi, \delta_F \varphi^\dagger = 0, \delta_F c_\varphi = 0, \delta_F c_\varphi^\dagger = \zeta \varphi^\dagger \quad Q_F$$

$$\delta_F^\dagger \varphi = 0, \delta_F^\dagger \varphi^\dagger = \zeta^\dagger c_\varphi^\dagger, \delta_F^\dagger c_\varphi = \zeta^\dagger \varphi, \delta_F^\dagger c_\varphi^\dagger = 0 \quad Q_F^\dagger$$

$$Q_F^2 = 0, Q_F^{\dagger 2} = 0, \{Q_F, Q_F^\dagger\} = i(Q_o + Q_g)$$

$$I = \varphi^\dagger \varphi + c_\varphi^\dagger c_\varphi = \{Q_F, c_\varphi^\dagger \varphi\} = \{Q_F^\dagger, \varphi^\dagger c_\varphi\}$$

$$Q_F |\text{phys}\rangle = 0 \quad \text{and} \quad Q_F^\dagger |\text{phys}\rangle = 0$$

Cf. 九後・小嶋の
補助条件

工

的
对
称
性

【予想】

SM+ α の粒子 Q_F - singlets

重い粒子および他の軽い粒子 Q_F - doublets

$$L_{BSM} = L_{light} + L_{heavy} + L_{mix}$$

$$L_{light} = L_{SM+\alpha} + \{Q_F, R_{light}\}$$

$$L_{heavy} + L_{mix} = \{Q_F, R_{heavy}\}$$

間接的でもよいから $\{Q_F, R_{light}\}$ や $\{Q_F, R_{heavy}\}$ の存在を実証できないか？

$\{Q_F, R_{light}\}$ に関しては可能(な場合もある)。

$\{Q_F, R_{light}\}$ の名残り(?)

Massless fields

	ゲージ群
Ordinary (その1) (ゲージ粒子を含む)	G の多重項
Ordinary (その2)	G' の多重項
Ghosts	G_g の多重項

$$G \supset G' \supset G_g \equiv H \text{ (とする)}$$

$$L_{light} = L_G + L_{G'} + L_{gh} + L_{int} = L_H + \{Q_F, R_{light}\}$$

Toy model

Massless fields

Ordinary (その1)

$$A_\mu^a (a=1,2,3), \phi = (\phi^1, \phi^2)$$

$SU(2)$ の多重項

Ghosts

$$C_\mu^\pm = \frac{1}{\sqrt{2}} (C_\mu^1 \mp iC_\mu^2), c_\phi^1$$

$U(1)$ の多重項

$$L_{light} = L_{SU(2)} + L_{gh} + L_{int} = L_{U(1)} + \{Q_F, R_{light}\}$$

$$L_{light} = L_{SU(2)} + L_{gh} + L_{int} = L_{U(1)} + \{Q_F, R_{light}\}$$

$$L_{SU(2)} = -\frac{1}{4} F_{\mu\nu}^\alpha F^{\alpha\mu\nu} + (D_\mu \phi)^\dagger (D^\mu \phi)$$

$$L_{gh} = -(D'_\mu C_\nu^-)(D'^\mu C^{+\nu}) + (D'_\mu C_\nu^-)(D'^\nu C^{+\mu}) \\ + (D'_\mu c_\phi^1)^\dagger (D'^\mu c_\phi^1)$$

$$D'_\mu = \partial_\mu + igA_\mu^3 T^3$$

$$L_{U(1)} = -\frac{1}{4} (\partial_\mu A_\nu^3 - \partial_\nu A_\mu^3)(\partial^\mu A^{3\nu} - \partial^\nu A^{3\mu}) + (D'_\mu \phi^2)^\dagger (D'^\mu \phi^2)$$

SU(2)対称性がゴーストを消去すると現れるという形で潜んでいる。

$$L_{light} = L_{SU(2)} + L_{gh} + L_{int} = L_{U(1)} + \left. \left\{ Q_F, R_{light} \right\} \right|_{M_U}$$

SU(2)対称性がゴーストを消去すると現れるという形で潜んでいる。

M_U において成り立つ接続条件と考えられる。

$$\begin{aligned} L_{light} &= L_{GUT} + L_{gh} + L_{int} + L'_O \\ &= L_{SM+\alpha} + \left. \left\{ Q_F, R_{light} \right\} \right|_{M_U} \end{aligned}$$

$$\begin{aligned}
 L_{light} &= L_{GUT} + L_{gh} + L_{int} + L'_o \\
 &= L_{SM+\alpha} + \left\{ Q_F, R_{light} \right\}
 \end{aligned}
 \Bigg|_{M_U}$$

SM + α のパラメータに関する M_U における条件

繰り込み群方程式

パラメータの測定値 $\rightarrow M_U$ における値

例：ゲージ結合定数の統一

$$g_3 = g_2 = g_1 = g_U \Big|_{M_U}$$

$$\begin{aligned}
 L_{light} &= L_{GUT} + L_{gh} + L_{int} + L'_O \\
 &= L_{SM+\alpha} + \{Q_F, R_{light}\} \Big|_{M_U}
 \end{aligned}$$

ゲージ結合定数の統一

$$g_3 = g_2 = g_1 = g_U \Big|_{M_U}$$

ヒッグス粒子に関する分離

$$H_5 = \begin{pmatrix} H_C \\ H_W \end{pmatrix} \begin{matrix} C_{H_C} \\ Q_F\text{-doublet} \end{matrix}$$

陽子の安定性

$$X_\mu : (3, 2) \quad C_\mu : (3, 2) \\
 Q_F\text{-doublet}$$

×ボソンがゴーストに魂を売った結果、陽子は永遠の命を授かった!?

4. 結論

【代替案 (シナリオ)】

標準模型 + テラスケールの新粒子
スーパーパートナーはない!



大砂漠

基礎理論 @ プランクスケール M_{Pl}

M_{Pl} で力の大統一, 超対称性が実現!

このシナリオの土台固めを行った。

→ 2次発散の問題, ゲージ階層性の問題の再考

【2次発散の問題】

↑ → 量子補正に潜む双対性

$$\delta m_h^2 = \boxed{C_h \Lambda^2} + C'_h m_h^2 \ln \frac{\Lambda^2}{m_h^2} + \boxed{\sum_k C''_h M_k^2 \ln \frac{\Lambda^2}{M_k^2}} + \dots$$

【ゲージ階層性の問題】

→ ゴーストを伴うフェルミ的対称性

【代替案 (シナリオ)】

標準模型 + テラスケールの新粒子
スーパーパートナーはない!



大砂漠

基礎理論 @ プランクスケール M_{Pl}

M_{Pl} で力の大統一, 超対称性が実現!

このシナリオの検証については,

Y.K., “Terascale remnants of unification and supersymmetry at the Planck scale”,

Prog. Theor. Exp. Phys. 8, 081B01, (2013)

arXiv:1304.7885 [hep-ph]

【主な仮定】

(a) 力の大統一

$$@ M \equiv \frac{M_{\text{Pl}}}{\sqrt{8\pi}} = 2.4 \times 10^{18} \text{ GeV}$$

$$SU(3)_C \times SU(2)_L \times U(1)_Y$$

が単純群の下で統一

$$\Rightarrow g_1 = \sqrt{\frac{5}{3}} g'$$

$g_U = g_i(M) \leq O(1) \rightarrow$ weakly coupled

(b) 超対称性 @ M

新粒子(の大部分)はハイパー多重項を成す。(超対称性の名残り)

\rightarrow テラスケールに現れる新粒子とその相互作用の形を予言した。

【双対性にまつわる課題】

双対性に基づく我々の方法の正当性の検証，適用範囲の把握

- 2ループ以上の解析

複数のパラメータ

- 複数の場が存在する場合の解析

【フェルミ的対称性にまつわる課題】

- フェルミ的対称性を有する系の
無矛盾性の検証

ユニタリティ,
相互作用の非局所性

- ゴーストの起源の探求
→ 基礎理論は何か？

【シナリオにまつわる課題】

SM + α の粒子はすべてプランクスケールで質量ゼロである！

質量の起源は何か？

電弱対称性の破れの機構は？

$m_h \cong 126 \text{ GeV}$ の導出

基礎理論はどんな形か？

最低限, 伝えたかったこと

**標準模型の背後に興味
深い物理が潜んでいる
可能性がある！**

今がこの可能性を追求する時期では？
LHCから(SUSY発見という)**倍返し**が
来るかもしれないけれども,

さらに、伝えなかったこと

たとえば、隠れた双対性やフェルミ的対称性が空想の産物だとしても、以下のような期待や予想は残るのでは。

- ・ 計算方法は物理によって決まる。
- ・ 量子補正の形は究極の理論の対称性
の名残りにより限定される。
- ・ 標準模型の粒子が1重項であるような
対称性によりゲージ階層性の安定性が
保証される。

ご清聴ありがとうございました。